

Dynamický model a exaktní linearizace dvoukolového diferenciálně řízeného robotu

(pracovní text, prosím dále nešířit)

Robert Grepl

2007-06-12

Obsah

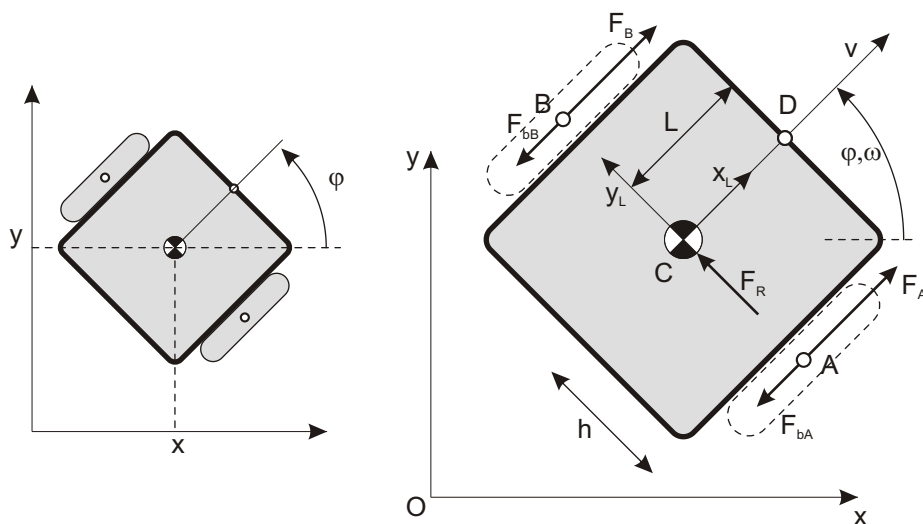
1 Úvod	2
1.1 Rešerše	3
2 Dynamický model s respektováním neholonomních vazeb	3
2.1 Sestavení modelu metodou uvolňování (Newton)	3
2.2 Klasický způsob simulace neholonomní vazby	4
2.3 Redukce modelu zahrnutím neholonomních podmínek	5
3 Exaktní linearizace (feedback linearization)	6
4 Návrh regulátoru	7
4.1 Soustava druhého řádu	8
4.2 Schéma řízení a výpočet vektoru řízení	8
5 Simulační experimenty	9
5.1 Implementace, porucha, plánovač	9
5.2 Výsledky	9
6 Závěr	10
6.1 Todo	12

1 Úvod

Cílem tohoto textu je *popsat tvorbu redukovaného analytického dynamického modelu pro dvoukolového diferenciálně řízeného robota podle obr. 1 a následně provést exaktní linearizaci systému.*

Uvažujeme následující předpoklady:

- uvažujeme pohyb jednoho tuhého tělesa v rovině (zanedbáme tedy dynamiku kol)
- uvažujeme nulový boční prokluz
- uvažujeme viskózní odpory při valení kol robotu



Obr. 1:

Dynamický model vytvoříme klasickým přístupem uvolnění, následně transformujeme souřadnice a vyloučíme vektor vazbových sil λ (v našem případě sílu F_R). Tím je redukovaný model vytvořen.

Vytvořený nelineární systém linearizujeme pomocí metody exaktní linearizace. Klíčovým bodem je zde volba řídicího bodu D , která umožní elegantní provedení linearizace.

Poznamenejme ještě, že zvláštnost neholonomních soustav spočívá – intuitivně řečeno – v rozporu mezi tím, že globálně je možné polohovat robota ve všech 3 stupních volnosti (x, y, φ) , avšak lokálně pouze ve dvou (x_L, φ) . Z matematického hlediska je tento stav vyjádřen počtem ODE prvního řádu, který je pro volné těleso roven šesti (holonomní) a pro náš případ robota roven pěti.

1.1 Rešerše

Literaturu použitou k sepsání tohoto textu lze v zásadě rozdělit do dvou skupin: modelování dynamiky neholonomních soustav a feedback linearization.

Metoda sestavení redukováného dynamického modelu je patrně v neholonomní komunitě dosti známa, objevuje se v [2, 1, 3]. Z poměrně obtížně pochopitelných důvodů však autoři neuvěřitelně mlží až ... podávají nepřesné informace. Např. některé předpoklady a logické vývody v [2] jsou dosud obestřeny tajemstvím (opravdu natolik nerozumím kinematice???).

Feedback linearization je opět obecně známý koncept [4, 5], překvapivě se ale neobjevuje často jako referenční (např. pro porovnání s NN). V [2] je řešen problém řízení čtyřkolového vozidla s diferenciálním řízením. Zdá se ale, že formálně vede problém na stejné rovnice. Ze zatím nejasných důvodů vede postup na lineární systém třetího řádu.

Při psaní tohoto textu jsme vycházeli především z článků [2, 1].

Vesměs všichni pánové zahrnují do svých úvah, modelů a řízení nejistoty parametrů.

2 Dynamický model s respektováním neholonomních vazeb

2.1 Sestavení modelu metodou uvolňování (Newton)

Těleso má v rovině tři stupně volnosti, k popisu tedy použijeme tři zobecněných souřadnic

$$\mathbf{q} = \begin{bmatrix} x \\ y \\ \varphi \end{bmatrix} \quad (1)$$

Metodou uvolňování sestavíme tři pohybové rovnice soustavy. Na robot působí dvě akční síly od pohonů F_A a F_B podle obrázku 1.

Viskózní tlumící síla působí proti směru pohybu kolečka, tedy ve směru záporné osy x_L . Velikost tlumící síly v kolečku A vypočteme pomocí rychlosti těžiště v_C a úhlové rychlosti okolo těžiště $\dot{\varphi}$ takto:

$$F_{bA} = bv_A = b(v_C + h\dot{\varphi}) \quad (2)$$

Pohyb v příčném (bočním) směru je zamezen silou F_R .

Nyní již můžeme sestavit soustavu tří ODE:

$$F_A \cos \varphi + F_B \cos \varphi - F_R \sin \varphi - \underbrace{b(\dot{x} + h\dot{\varphi} \cos \varphi)}_{F_{bAx}} - \underbrace{b(\dot{x} - h\dot{\varphi} \cos \varphi)}_{F_{bBx}} = m\ddot{x} \quad (3)$$

$$F_A \sin \varphi + F_B \sin \varphi + F_R \cos \varphi - b(\dot{x} + h\dot{\varphi} \sin \varphi) - b(\dot{x} - h\dot{\varphi} \sin \varphi) = m\ddot{y} \quad (4)$$

$$F_A h - F_B h - 2bh^2\dot{\varphi} = I\ddot{\varphi} \quad (5)$$

Tyto rovnice snadno přepíšeme do maticového tvaru

$$\begin{bmatrix} m & & \\ & m & \\ & & I \end{bmatrix} \begin{bmatrix} \ddot{x} \\ \ddot{y} \\ \ddot{\varphi} \end{bmatrix} + \begin{bmatrix} -2b & & \\ & -2b & \\ & & -2bh^2 \end{bmatrix} \begin{bmatrix} \dot{x} \\ \dot{y} \\ \dot{\varphi} \end{bmatrix} = \begin{bmatrix} \cos \varphi & \cos \varphi \\ \sin \varphi & \sin \varphi \\ h & -h \end{bmatrix} \begin{bmatrix} F_A \\ F_B \end{bmatrix} - \begin{bmatrix} -\sin \varphi \\ \cos \varphi \\ 0 \end{bmatrix} F_R \quad (6)$$

$$\mathbf{M}\ddot{\mathbf{q}} + \mathbf{V}\dot{\mathbf{q}} = \mathbf{B}\mathbf{f} - \mathbf{A}^T \lambda \quad (7)$$

V těchto třech rovnicích ($n = 3$) se vyskytují neznámé $\{\ddot{x}, \ddot{y}, \ddot{\varphi}, F_R\}$ a soustavu tedy v této podobě nemůžeme řešit. V případě holonomních soustav (běžných) doplníme rovnice vazbovými podmínkami (pro polohy), tyto dvakrát zderivujeme a dostaneme soustavu DAE řešitelnou např. v Matlabu. *Pro neholonomní soustavy se tento postup použít nedá*, protože mají podmínky vyjádřeny pro rychlosti.

2.2 Klasický způsob simulace neholonomní vazby

Běžný způsob modelování kolových vozidel např. v prostředí Matlab/Simulink nebo SimMechanics pracuje takto:

- těleso má v rovině 3 stupně volnosti
- holonomní vazbovou sílu počítáme jako funkci rychlosti

V našem případě můžeme simulační model snadno sestavit položíme-li

$$F_R = -k\dot{y}_L \quad (8)$$

kde k je velké číslo (dobře funguje např. $k = 1e-6$).

Ve výsledku takto dojde k zamezení pohybu v lokální ose y_L a tedy správnému pohybu vozidla (přesvědčit se můžeme vykreslením integrované hodnoty posuvu během pohybu).

Nevýhodnou tohoto přístupu je zakomponování vysoké „tuhosti“ a tím vysokých vlastních čísel do celého systému. *Důsledkem je (razantní) zpomalení simulace* (ode45 apod. – automatická volba délky kroku).

2.3 Redukce modelu zahrnutím neholonomních podmínek

Zanedbáme-li u robotu možnost bočního prokluzu, pak nutno definovat vazebnou podmínku

$$\dot{y}_L = 0 \quad (9)$$

kterou můžeme pro pevný souřadný systém O přepsat takto:

$$\frac{\dot{y}}{\dot{x}} = \tan \varphi \quad (10)$$

Tuto jednu neholonomní podmínku ($k = 1$) upravíme do maticového tvaru

$$\dot{x} \tan \varphi - \dot{y} = 0 \quad (11)$$

$$\begin{bmatrix} \tan \varphi & -1 & 0 \end{bmatrix} \begin{bmatrix} \dot{x} \\ \dot{y} \\ \dot{\varphi} \end{bmatrix} = 0 \quad (12)$$

$$\mathbf{A}(\mathbf{q})\dot{\mathbf{q}} = \mathbf{0} \quad (13)$$

Poznamenejme, že naše soustava nemá žádnou holonomní podmínku, proto celkový počet omezujících holonomních i neholonomních podmínek je $m = k + 0 = 1$.

Definujeme matici $\mathbf{S}(\mathbf{q})$ o rozměru $n \times n - m$ takovou, že

$$\mathbf{A}(\mathbf{q})\mathbf{S}(\mathbf{q}) = \mathbf{0} \quad (14)$$

Pro náš případ je velmi pěknou definicí následující matice (lze najít např. v [3]):

$$\mathbf{S} = \begin{bmatrix} \cos \varphi & 0 \\ \sin \varphi & 0 \\ 0 & 1 \end{bmatrix} \quad (15)$$

Máme-li vhodnou matici (null space), definujeme vektor \mathbf{v} tak aby platilo:

$$\dot{\mathbf{q}}(\mathbf{q}) = \mathbf{S}(\mathbf{q})\mathbf{v}(t) \quad (16)$$

což je v našem případě (přeznačeno pro další snadnější zápis)

$$\mathbf{v} = \begin{bmatrix} \dot{x}_L \\ \dot{\varphi} \end{bmatrix} = \begin{bmatrix} v \\ \omega \end{bmatrix} \quad (17)$$

Derivujeme rov. 16 podle času

$$\ddot{\mathbf{q}} = \dot{\mathbf{S}}\mathbf{v} + \mathbf{S}\dot{\mathbf{v}} \quad (18)$$

$$\dot{\mathbf{S}} = \begin{bmatrix} -\sin \varphi & 0 \\ \cos \varphi & 0 \\ 0 & 0 \end{bmatrix} \dot{\varphi} \quad (19)$$

a odvozené vztahy dosadíme do 7. Celou rovnici pak zleva vynásobíme \mathbf{S}^T .

$$\mathbf{M}\dot{\mathbf{S}}\mathbf{v} + \mathbf{M}\mathbf{S}\dot{\mathbf{v}} + \mathbf{V}\mathbf{S}\mathbf{v} = \mathbf{B}\mathbf{f} - \mathbf{A}^T\lambda \quad (20)$$

$$\mathbf{S}^T\mathbf{M}\mathbf{S}\dot{\mathbf{v}} + \mathbf{S}^T(\mathbf{V}\mathbf{M}\mathbf{S}\dot{\mathbf{S}})\mathbf{v} = \mathbf{S}^T\mathbf{B}\mathbf{f} - \underbrace{\mathbf{S}^T\mathbf{A}^T}_{=(\mathbf{A}\mathbf{S})^T=0} \lambda \quad (21)$$

Vidíme, že se nám podařilo odstranit neznámý vektor λ , což lze považovat za klíčový úspěch. Výsledná rovnice společně s 16 tvoří nový redukovaný model systému

$$\mathbf{S}^T\mathbf{M}\mathbf{S}\dot{\mathbf{v}} + \mathbf{S}^T(\mathbf{V}\mathbf{S} + \mathbf{M}\dot{\mathbf{S}})\mathbf{v} = \mathbf{S}^T\mathbf{B}\mathbf{f} \quad (22)$$

$$\dot{\mathbf{q}} = \mathbf{S}\mathbf{v} \quad (23)$$

Výsledný model je soustavou pěti ODE prvního řádu se stavovým vektorem $[v, \omega, x, y, \varphi]$. Těleso v rovině je přitom popsáno 3 ODE druhého řádu (což odpovídá 6-ti ODE prvního řádu). Došlo tedy k redukci dynamického systému vlivem neholonomní vazby. Těleso se stále může pohybovat ve všech třech stupních volnosti x, y, φ , v pravém slova smyslu však nemá tři mechanické stupně volnosti (má 2,5 stupně volnosti – „intuitivní popis neholonomního systému“).

3 Exaktní linearizace (feedback linearization)

Rovnici 22 upravíme do formálně jednoduššího tvaru, význam nových matic je zřejmý porovnáním.

$$\overline{\mathbf{M}}\dot{\mathbf{v}} + \overline{\mathbf{K}}\mathbf{v} = \overline{\mathbf{B}}\mathbf{f} \quad (24)$$

$$\dot{\mathbf{q}} = \mathbf{S}\mathbf{v} \quad (25)$$

Nyní můžeme snadno provést částečnou linearizaci (partially linearizing static feedback [2]).

Vstupní vektor akčních sil \mathbf{f} definujeme nově takto:

$$\mathbf{f} = \overline{\mathbf{B}}^{-1}(\overline{\mathbf{M}}\mathbf{u} + \overline{\mathbf{K}}\mathbf{v}) \quad (26)$$

kde \mathbf{u} je nový vstup. Vidíme, že se nám situace zjednoduší takto:

$$\dot{\mathbf{v}} = \mathbf{u} \quad (27)$$

$$\dot{\mathbf{q}} = \mathbf{S}\mathbf{v} \quad (28)$$

Výsledek je to zajímavý, nicméně řídit robota pomocí souřadnice x_L je poněkud nepohodlné. Pokračujme proto dále vstříc lepšímu řešení.

Velice zajímavého výsledku dosáhneme prostým trikem, který lze najít v mnoha příspěvcích [2].

Připomeňme, že naším cílem je kvalitně řídit polohu robotu v rovině danou souřadnicemi jeho těžiště C. Pokud tento požadavek změníme tak, že budeme místo toho řídit polohu bodu D, dosáhneme velice zajímavého výsledku.

Definujme tedy nový vektor řízené veličiny

$$\mathbf{z} = \begin{bmatrix} x + L \cos \varphi \\ y + L \sin \varphi \end{bmatrix} \quad (29)$$

Derivujeme podle času a dostaneme

$$\dot{\mathbf{z}} = \begin{bmatrix} \dot{x} - L\dot{\varphi} \sin \varphi \\ \dot{y} + L\dot{\varphi} \cos \varphi \end{bmatrix} = \begin{bmatrix} \cos \varphi & -L \sin \varphi \\ \sin \varphi & L \cos \varphi \end{bmatrix} \begin{bmatrix} v \\ \omega \end{bmatrix} \quad (30)$$

$$\dot{\mathbf{z}} = \mathbf{P}\mathbf{v} \quad (31)$$

Zderivujeme ještě jednou

$$\ddot{\mathbf{z}} = \dot{\mathbf{P}}\mathbf{v} + \mathbf{P}\dot{\mathbf{v}} \quad (32)$$

$$\dot{\mathbf{P}} = \begin{bmatrix} -\sin \varphi & -L \cos \varphi \\ \cos \varphi & -L \sin \varphi \end{bmatrix} \omega \quad (33)$$

Rovnici 27 vynásobíme zleva maticí \mathbf{P} a provedeme další úpravy

$$\mathbf{P}\dot{\mathbf{v}} = \mathbf{P}\mathbf{u} \quad (34)$$

$$\ddot{\mathbf{z}} - \dot{\mathbf{P}}\mathbf{v} = \mathbf{P}\mathbf{u} \quad (35)$$

$$\ddot{\mathbf{z}} = \mathbf{P}\mathbf{u} + \dot{\mathbf{P}}\mathbf{v} \quad (36)$$

a definujeme vstup \mathbf{u} takto:

$$\mathbf{u} = \mathbf{P}^{-1}(\ddot{\mathbf{z}} - \dot{\mathbf{P}}\mathbf{v}) \quad (37)$$

kde \mathbf{r} je znovu (a naposledy) novým předefinovaným vstupem.

Touto kouzelnou úpravou dosáhneme kýženého výsledku – lineárního systému s rozumnou řízenou veličinou. Původní systém je nahrazen dvěma nezávislými (decoupled) řetězci dvou integrátorů.

$$\ddot{\mathbf{z}} = \mathbf{r} \quad (38)$$

Pozn.: takto jednoduché a přímočaré řešení jsem zatím v žádné publikaci [?, 1] nenašel...

4 Návrh regulátoru

4.1 Soustava druhého řádu

Po exaktní linearizaci řídíme separovanou soustavu druhého řádu 38. Zvolme

$$\mathbf{r} = \ddot{\mathbf{z}}^d - \mathbf{K}_0 \tilde{\mathbf{z}} - \mathbf{K}_1 \dot{\tilde{\mathbf{z}}} \quad (39)$$

$$\tilde{\mathbf{z}} = \mathbf{z} - \mathbf{z}^d \quad (40)$$

kde \mathbf{z}^d je požadovaná a \mathbf{z} skutečná poloha bodu D robotu. Po úpravě dostaneme

$$\ddot{\tilde{\mathbf{z}}} + \mathbf{K}_1 \dot{\tilde{\mathbf{z}}} + \mathbf{K}_0 \tilde{\mathbf{z}} = 0 \quad (41)$$

Připomeňme, že matice \mathbf{K}_1 a \mathbf{K}_0 jsou diagonálními maticemi a rovnice 41 je tedy soustavou $n - m = 2$ *nezávislých harmonických oscilátorů, jejichž vlastnosti můžeme libovolně volit*.

To je klíčová vlastnost separovaných rovnic, které vzniknou metodou exaktní linearizace.

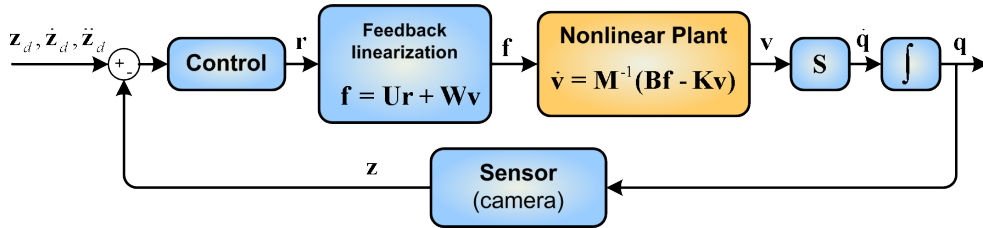
Nastavíme-li \mathbf{K}_0 tak, aby rychlost regulace odpovídala našim požadavkům (odpovídá hodnotě Ω^2 mechanického oscilátoru) a dále při

$$\mathbf{K}_1 = \begin{bmatrix} 2\sqrt{k_{01}} & 0 \\ 0 & 2\sqrt{k_{02}} \end{bmatrix} \quad (42)$$

dosáhneme kritického tlumení (odpovídá hodnotě $\delta = \Omega$ u mechanického oscilátoru).

4.2 Schéma řízení a výpočet vektoru řízení

Schéma celé řízené soustavy pak můžeme znázornit na obr. 2.



Obr. 2:

Doplňme ještě vyjádření velikosti řídicího vektoru \mathbf{f} , kterým řídíme robota. Vyjádříme ho z rovnic 26 a 37 takto:

$$\mathbf{f} = \bar{\mathbf{B}}^{-1} \bar{\mathbf{M}} \bar{\mathbf{P}}^{-1} \mathbf{r} - \bar{\mathbf{B}}^{-1} (\bar{\mathbf{M}} \bar{\mathbf{P}}^{-1} \dot{\mathbf{P}} + \bar{\mathbf{K}}) \mathbf{v} \quad (43)$$

což zapíšeme jako

$$\mathbf{f} = \mathbf{U}(\varphi) \mathbf{r} + \mathbf{W}(\omega) \mathbf{v} \quad (44)$$

$$\mathbf{U}(\varphi) = \frac{1}{2hL} \begin{bmatrix} mhL \cos \varphi - I \sin \varphi & mhL \sin \varphi + I \cos \varphi \\ mhL \cos \varphi + I \sin \varphi & mhL \sin \varphi - I \cos \varphi \end{bmatrix} \quad (45)$$

Výsledné matice vypadají po úpravě (Maple) následovně:

$$\mathbf{W}(\omega) = \begin{bmatrix} \frac{2bhL + I\omega}{2bhL + I\omega} & \frac{\omega mL}{2} + hb \\ \frac{2hL}{2hL} & \frac{\omega mL}{2} - hb \end{bmatrix} \quad (46)$$

Je vidět, že pro $h, L \neq 0$ lze řízení vypočítat vždy. Tím je problém vyřešen.

5 Simulační experimenty

5.1 Implementace, porucha, plánovač

Výše popsany algoritmus byl implementován v prostředí Matlab (řešič `ode45`) a odladěn. Simulační výpočet probíhá v porovnání s klasickým řešením popsaným v části 2.2 velice rychle.

Pro ověření kvality řízení zavedeme do soustavy 7 vektor poruchové síly

$$\mathbf{f_P} = [F_{Px}, F_{Py}, M_{Pz}] \quad (47)$$

$$\mathbf{M}\ddot{\mathbf{q}} + \mathbf{V}\dot{\mathbf{q}} = \mathbf{B}\mathbf{f} - \mathbf{A}^T\lambda + \mathbf{f_P} \quad (48)$$

který se v rovnici 24 projeví takto:

$$\overline{\mathbf{M}}\dot{\mathbf{v}} + \overline{\mathbf{K}}\mathbf{v} = \overline{\mathbf{B}}\mathbf{f} + \mathbf{S}^T\mathbf{f_P} \quad (49)$$

Pro naplňování trajektorie (tedy volbu \mathbf{z}^d , $\dot{\mathbf{z}}^d$ a $\ddot{\mathbf{z}}^d$ použijeme funkci `jtraj` z Robotic Toolbox for Matlab. Funkce definuje polohu, rychlost a zrychlení pomocí polynomu sedméno stupně.

5.2 Výsledky

Na následujících dvou obrázcích je uvedena požadovaná a skutečná trajektorie pro dva případy nastavení parametrů matice $\mathbf{K_0}$. Matice $\mathbf{K_1}$ byla vždy dopočítána podle 42 (kritické tlumení).

Parametry byly nastaveny následovně:

```
%% Parametry robotu
m = 1      % [kg]
J = 0.10   % [kgm2]
b = 0.1
h = 0.1    % [m]
L = 0.1    % [m]
```

```
y0 = [-L 0 0 0 0]'; % poc. podm
```

```
%% Definice uzlu trajektorie
```

```
trasa.t = [0 1 2 3];
```

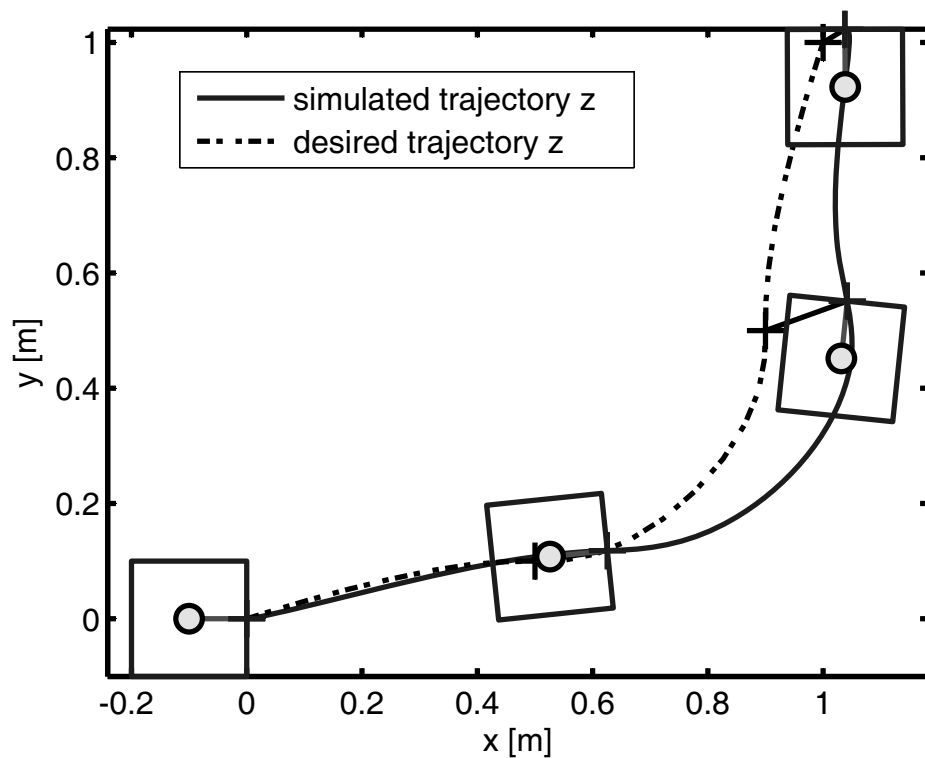
```
trasa.x = [0 0.5 .9 1];
```

```
trasa.y = [0 0.1 0.5 1];
```

```
trasa.dx = [0 0.5 0 0];
```

```
trasa.dy = [0 0 0.5 0];
```

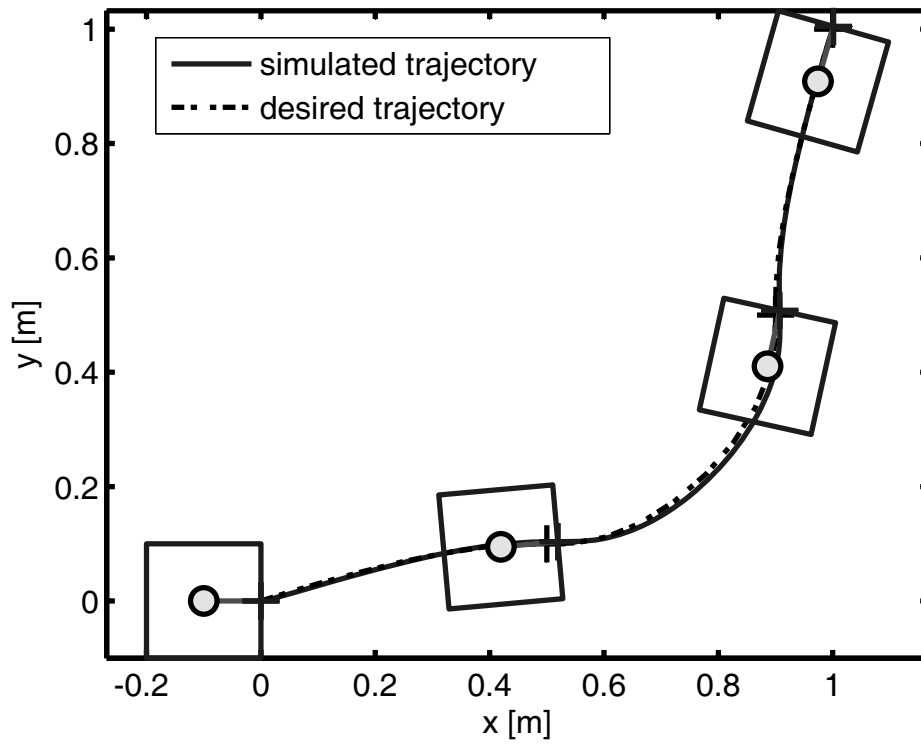
Porucha byla u obou variant shodná $\mathbf{f_P} = [1, 0, 0]$ N.



Obr. 3: $k_{01} = k_{02} = 5$

6 Závěr

- [1] OH, C., KIM, M.-S., LEE, J.J.: *Control of nonholonomic mobile robot using an RBF network*, Artificial Life Robotics 8, pp.14-19, 2004
- [2] CARACCIOLO, L., DE LUCA, A., IANNITTI, S.: *Trajectory Tracking Four-Wheel Differentially Driven Mobile Robot*, International Conference on Robotics & Automation, Detroit, Michigan, 1999



Obr. 4: $k_{01} = k_{02} = 50$

- [3] GHOLIPOUR, A., YAZDANPANA, M. J.: *Dynamic tracking control of Nonholonomic Mobile Robot with Model Reference Adaptation For Uncertain parameters*, ,
- [4] SPONG, M.W., HUTCHINSON, S., VIDYASAGAR, M.: *Robot modeling and control*, , 2006
- [5] SCIAVICCO, L.: *Modelling and Control of Robot Manipulators*, , 2004

6.1 Todo

- klíčové: srovnat kinematicky řízený robot s výše popsáním řízením (je vůbec feedback lin. varianta praktickým přínosem???)
- zahrnout do modelu i dynamiku kol (ovlivní to pouze hodnoty v maticích?)
- přidat zobecnění a teoretický podklad volby matice S
- ujasnit si pojmy "feedback linearization" a "exact linearization" – je mezi nimi rozdíl? Má "feed. lin." nějaký český překlad?
- citlivost na parametry (především tlumení)
- vyzkoušet jak bude fungovat "feedback linear control" výše popsaného neholonomního modelu na modelu v SimMechanics, který zahrnuje i všemožné prokluzu
- ? do jednoduchého analytického modelu zahrnout dynamiku kol?
- lze někde najít teoretický výklad vlastností neholonomních systémů ?
- nahradit `jtraj` v simulacích nějakým realističtějším plánovačem
- odhad doby výpočtu inv. dyn. modelu, zavedení příslušného zpoždění do simulací
- promyslet, proč používá de Luca "dynamic extension" - tj. přidání dalšího integrátoru – výsledný systém má $\ddot{z} = r$